



Effect of Waterlogging Duration at Different Growth Stages on Some Photosynthetic Characteristics, Antioxidant Activity, and Yield of Safflower (*Carthamus tinctorius* L.)

F. Askari Foroshani¹, A. Rahnama^{1*}, M. Meskarbashee¹, I. Kamranfar¹

1- Department of Plant Production and Genetics, Faculty of Agriculture, Shahid Chamran University of Ahvaz, Ahvaz, Iran

(*- Corresponding author's Email: a.rahnama@scu.ac.ir)

Received: 27 June 2024
Revised: 14 August 2024
Accepted: 31 August 2024
Available Online: 11 March 2025

How to cite this article:

Askari Foroshani, F., Rahnama, A., Meskarbashee, M., & Kamranfar, I. (2025). Effect of Waterlogging Duration at Different Growth Stages on Some Photosynthetic Characteristics, Antioxidant Activity, and Yield of Safflower (*Carthamus tinctorius* L.). *Iranian Journal of Field Crops Research*, 23(2), 171-186. (In Persian with English abstract). <https://doi.org/10.22067/jcsc.2024.88492.1335>

Introduction


Waterlogging is a complex environmental stress limiting crop productivity and yield stability. Waterlogging in crop plants remains a serious barrier to crop production around the globe in high-rainfall areas with heavy rainfall or poor drainage. Waterlogging duration and the growth stage at which it occurs can significantly influence the physiological, biochemical, and yield-related traits of safflower (*Carthamus tinctorius* L.). However, the impact of waterlogging stress at different developmental stages on photosynthetic processes and antioxidant defense mechanisms in safflower under field conditions remains poorly understood. This study aimed to identify the most sensitive growth stage to waterlogging stress in order to enhance our understanding of the complex mechanisms underlying waterlogging tolerance in safflower.

Materials and Methods

In order to study the influence of waterlogging duration at vegetative and reproductive stages on the yield, photosynthetic characteristics, and antioxidant activity of safflower, a field experiment was carried out during 2020-2021 growing season in a split-plot arrangement in randomized complete blocks design using three replicates per treatment. The research farm was located at Shahid Chamran University of Ahvaz, Iran. The plants were grown in the field to ensure the environmental conditions found in waterlogged and flooded soils. Three waterlogging treatments were applied to plants as main plots: Well-drained controls irrigated weekly, mild stress (waterlogged for 24 h) and severe stress (waterlogged for 48 h). Waterlogging treatments were implemented at stem elongation (vegetative stage), and full branching (reproductive stage) as sub plots. Seeds originated from the Seed and Plant Improvement Institute, Karaj, Iran. Before and after the end of waterlogging period, waterlogging treatments were watered with sufficient water (80% field capacity) until the end of the experiment. The data for stomatal conductance, photosynthetic rate, chlorophyll index, catalase, peroxidase and superoxide dismutase enzyme activities, biological yield, oil content, and seed and oil yield was recorded. Gas exchange characters were measured after waterlogging stress and then after 7 days of recovery.



©2025 The author(s). This is an open access article distributed under [Creative Commons Attribution 4.0 International License \(CC BY 4.0\)](https://creativecommons.org/licenses/by/4.0/), which permits use, sharing, adaptation, distribution and reproduction in any medium or format, as long as you give appropriate credit to the original author(s) and the source.

 <https://doi.org/10.22067/jcsc.2024.88492.1335>

Results and Discussion

The mild and severe waterlogging stress treatments at both vegetative and reproductive stages led to a significant reduction in stomatal conductance (24 and 35%, respectively), photosynthetic rate (49 and 60%, respectively), chlorophyll index (14 and 44%, respectively), biological yield (21 and 27%, respectively), seed (34 and 39%, respectively) and oil yield (16 and 32%, respectively) but increased catalase (7 and 51%, respectively), peroxidase (7 and 35%, respectively) and superoxide dismutase (9 and 17%, respectively) enzyme activities compared to well-drained controls. After 7 days of recovery, gas exchange measurements were recovered in mild and severe waterlogging stress treatments. Plant growth stage and stress duration played an important role in the response to waterlogging stress. In severe stress treatment, the activity of antioxidant enzymes; catalase, peroxidase and superoxide dismutase at the reproductive stage was higher than the vegetative stage (26, 17 and 9%, respectively). However, there was no significant difference between growth stages in terms of all traits except for catalase, peroxidase and superoxide dismutase activity. The mild and severe waterlogging stress at both growth stages led to a significant reduction in seed yield by 34 and 39%, and oil yield by 16 and 32% respectively, compared to control. In contrast to the results of antioxidant enzyme activities, the maximum decrease in seed yield was found when waterlogging occurred in severe stress treatment at the reproductive stage. The reduction was 43%, when compared to the control.

Conclusion

The results highlighted that waterlogging during the reproductive stage of oilseed safflower resulted in higher yield loss than during the vegetative stage and these findings emphasized that the impacts of waterlogging stress on oilseed crops are important and the management practices of safflower fields especially in the Khuzestan region must be strengthened during the winter season.

Acknowledgement

We gratefully acknowledge funding support from Shahid Chamran University of Ahvaz grant number SCU.AA99.96

Keywords: Catalase activity, Chlorophyll index, Peroxidase activity, Stomatal conductance

مقاله پژوهشی

جلد ۲۳، شماره ۲، تابستان ۱۴۰۴، ص ۱۸۶-۱۷۱

تأثیر مدت زمان تنش غرقاب در مراحل مختلف رشد بر برخی ویژگی‌های فتوسنتزی، فعالیت آنتی‌اکسیدانی و عملکرد گلرنگ زراعی (*Carthamus tinctorius* L.)

فاطمه عسکری فروشانی^۱، افراسیاب راهنما^{۱*}، موسی مسکرباشی^۱، ایمان کامرانفر^۱

تاریخ دریافت: ۱۴۰۳/۰۴/۰۷

تاریخ پذیرش: ۱۴۰۳/۰۶/۱۰

چکیده

تنش غرقاب، یک تنش محیطی پیچیده و از عوامل اصلی محدودکننده بهره‌وری و پایداری محصول است. به منظور بررسی تأثیر مدت زمان تنش غرقاب در مرحله رشد رویشی و زایشی روی برخی از ویژگی‌های فتوسنتزی و فعالیت آنزیم‌های آنتی‌اکسیدان گلرنگ زراعی (*Carthamus tinctorius* L.)، پژوهشی مزرعه‌ای به صورت کرت‌های خردشده در قالب طرح پایه بلوک‌های کامل تصادفی در سه تکرار در سال زراعی ۱۴۰۰-۱۳۹۹ در دانشگاه شهید چمران اهواز اجرا شد. سه سطح تنش غرقاب شامل: شاهد، تنش غرقاب ملایم (۲۴ ساعت) و شدید (۴۸ ساعت) در کرت‌های اصلی و تنش در مرحله رویشی و زایشی در کرت‌های فرعی قرار داده شدند. نتایج نشان داد که تیمارهای تنش غرقاب باعث کاهش معنی‌دار هدایت روزنه‌ای، سرعت فتوسنتز، شاخص کلروفیل و عملکرد دانه و روغن شد، ولی فعالیت آنزیم کاتالاز، پراکسیداز و سوپر اکسید دیسموتاز افزایش یافت. در شرایط تنش غرقاب شدید، فعالیت آنزیم‌های آنتی‌اکسیدان در مرحله زایشی بیشتر از مرحله رویشی آن (به ترتیب ۲۶، ۱۷ و ۹ درصد بیشتر) بود. بیشترین عملکرد دانه و روغن (به ترتیب ۲۰۵۶ و ۴۶۹ کیلوگرم در هکتار) در شرایط آبیاری مطلوب و کمترین آن در تنش غرقاب شدید (به ترتیب ۱۲۵۶ و ۳۱۷ کیلوگرم در هکتار) حاصل شد. تنش غرقاب ملایم و شدید منجر به کاهش معنی‌دار عملکرد دانه به ترتیب به میزان ۳۴ و ۳۹ درصد و عملکرد روغن به میزان ۱۶ و ۳۲ درصد در مقایسه با آبیاری مطلوب شد. منطبق با نتایج فعالیت آنزیم‌های آنتی‌اکسیدان، بیشترین تأثیر تنش بر عملکرد دانه مربوط به تنش شدید در مرحله زایشی بود، به گونه‌ای که سبب بیش‌ترین مقدار کاهش به میزان ۴۳ درصد در مقایسه با آبیاری مطلوب شد. به طور کلی، تنش غرقاب در مرحله زایشی گلرنگ نسبت به مرحله رویشی منجر به کاهش بیشتر عملکرد شد و این یافته‌ها بر اهمیت تنش غرقاب بر دانه‌های روغنی و زهکشی مزارع خوزستان در فصل زمستان جهت حذف آب اضافی پس از وقوع سیل و بارندگی‌های سنگین تأکید دارد.

واژه‌های کلیدی: شاخص کلروفیل، فعالیت پراکسیداز، فعالیت کاتالاز، هدایت روزنه‌ای

مقدمه

(Tian et al., 2021). پدیده روبه‌رشد گرمایش جهانی و پیش‌بینی بارندگی‌های مکرر یا سنگین، نیازمند مطالعه تحمل تنش غرقاب در گیاهان و سازوکارهای مرتبط با آن به منظور حفظ کشاورزی پایدار و ارتقاء سازگاری مؤثر با تغییرات اقلیمی است (Bailey-Serres, Lee, & Brinton, 2012).

در خاک غرقاب، دسترسی منافذ خاک به هوا و اکسیژن کاهش می‌یابد، و منجر به کاهش تنفس و فعالیت ریشه و کمبود انرژی می‌شود (Arbona, Hossain, López-Climent, Pérez- & Clemente, & Gómez-Cadenas, 2008). تداوم شرایط غرقاب و تنفس بی‌هوازی منجر به افزایش گونه‌های اکسیژن واکنشگر و در نهایت مرگ سلول و پیری گیاه می‌شود (Zhang, Lyu, Jia, He, & Qin, 2017). اکثر گیاهان در هنگام غرقاب می‌توانند از طریق

رشد گیاهان از طریق جذب هماهنگ آب توسط ریشه و تعرق از برگ انجام می‌شود و شرایط اشباع یا فوق اشباع خاک منجر به تنش غرقاب می‌شود. تنش غرقاب از عوامل اصلی محدودکننده بهره‌وری محصول است. مهار تنفس ریشه و تجمع مواد سمی در طی غرقاب، اثرات نامطلوبی بر رشد رویشی و زایشی گیاه بر جای می‌گذارد و در نهایت منجر به کاهش عملکرد محصول یا مرگ گیاه زراعی می‌شود

۱- گروه مهندسی تولید و ژنتیک گیاهی، دانشکده کشاورزی، دانشگاه شهید چمران اهواز، اهواز، ایران
(*)- نویسنده مسئول: (Email: a.rahnama@scu.ac.ir)

تشدید شرایط غرقاب موقت و خسارات را بر محصولات کشاورزی می‌شود. اطلاعات اندکی در مورد واکنش گیاه گلرنگ به مدت زمان اعمال تنش غرقاب و تأثیر آن در مراحل مختلف رشدی گیاه وجود دارد. گزارش شده است که حساسیت این گیاه به شرایط ماندابی در مراحل زایشی بیشتر است و عملکرد دانه آن می‌تواند آسیب ببیند (Shahrokhnia & Sepaskhah, 2017).

امروزه پدیده تغییرات اقلیمی و پیامدهای آن به‌عنوان یکی از مهم‌ترین چالش‌ها در حفظ و پایداری امنیت غذایی محسوب گردیده و زمینه پژوهشی گسترده‌ای را پیش روی پژوهشگران قرار داده است. استان خوزستان دارای بافت خاک سنگین با نفوذپذیری پایین است و به دلیل موقعیت جلگه‌ای و عدم زهکشی و پوشش گیاهی مناسب، احتمال وقوع تنش غرقاب در فصول با بارندگی سنگین در این استان بسیار زیاد است. از سوی دیگر، با توجه به اهمیت کشت پاییزه گلرنگ در استان خوزستان، و احتمال وقوع شرایط غرقاب طی دوره رشد این گیاه، بررسی سازوکارهای فیزیولوژیک و دفاع آنتی‌اکسیدانی مرتبط با تحمل به شرایط غرقاب امری ضروری است. اگرچه مطالعات متعددی برای ارزیابی اثرات تنش غرقاب بر ویژگی‌های مورفوفیزیولوژیک و عملکردی گیاهان زراعی مختلف انجام شده است، اما مطالعات اندکی در زمینه گیاه گلرنگ وجود دارد و بر همین اساس، در پژوهش حاضر به بررسی برخی واکنش‌های فتوسنتزی و فعالیت آنتی‌اکسیدانی این گیاه به مدت زمان غرقاب و اعمال آن در مراحل رشد رویشی و زایشی پرداخته خواهد شد.

مواد و روش‌ها

این پژوهش به‌صورت آزمایشی مزرعه‌ای در سال زراعی ۱۴۰۰-۱۳۹۹ در دانشکده کشاورزی دانشگاه شهید چمران اهواز به‌صورت کرت‌های خردشده در قالب طرح پایه بلوک‌های کامل تصادفی در سه تکرار اجرا شد. سطوح تنش غرقاب شامل: آبیاری مطلوب (بدون غرقاب و آبیاری در ۸۰ درصد ظرفیت زراعی)، تنش غرقاب ملایم (غرقاب به مدت ۲۴ ساعت) و تنش غرقاب شدید (غرقاب به مدت ۴۸ ساعت) در کرت‌های اصلی و دو مرحله رشدی رویشی و زایشی (به ترتیب مرحله ۳۷ و ۶۱ براساس مقیاس BBCH) در کرت‌های فرعی قرار داده شدند. از رقم گلدشت به‌عنوان رقم معرفی شده توسط مؤسسه تحقیقات اصلاح و تهیه نهال و بذر کرج با تیپ رشدی بهاره، با میانگین عملکرد دانه ۲۵۰۰ کیلوگرم در هکتار در مناطق گرم، بدون خار، زودرس، متحمل به سرما در بین ارقام بهاره و مناسب کاشت در اقلیم‌های گرم در این پژوهش استفاده شد. پس از آبیاری زمین و گاوور شدن خاک، زمین توسط گاوآهن برگردان دار شخم زده شد. به‌منظور خرد کردن کلوخه‌ها و تسطیح زمین از دیسک و ماله استفاده شد. جهت تعیین ویژگی‌های فیزیکی و شیمیایی خاک مزرعه،

راهبردهای مختلف با آسیب ناشی از تنش غرقاب سازگار شوند (Yin *et al.*, 2019).

در طی تنش غرقاب، روزنه‌های برگ بسته می‌شوند، و تخریب کلروفیل و پیری برگ، توانایی برگ‌ها برای جذب نور را کاهش می‌دهد و در نهایت منجر به کاهش سرعت فتوسنتز می‌شود (Arbona *et al.*, 2008; Yan, Zhao, Cui, Han, & Wen, 2018). تنش غرقاب با تأثیر بر تبادلات گازی، انتشار دی‌اکسید کربن به برگ و تعرق و به دنبال آن جذب غیرفعال آب را کاهش می‌دهد. همچنین، محتوای کلروفیل برگ را کاهش و در نتیجه تجمع ماده خشک را کاهش می‌دهد (Ashraf, 2012). در گیاهان، بسته شدن روزنه اولین واکنش به غرقاب بوده که منجر به کاهش تبادلات گازی و در نهایت فتوسنتز می‌شود (Zhang, Zhou, Yue, Chen, & Xing, 2019; Fazeli, Meskarbashee, & Rahnema, 2023a). در همین حال، اختلال در انتقال مواد فتوسنتزی، سبب کوتاه شدن دوره پر شدن دانه و در نهایت کاهش عملکرد دانه می‌شود (Grassini, Indaco, Pereira, Hall, & Trápani, 2007). در چنین شرایطی، گیاهان از طریق آنتی‌اکسیدان‌های آنزیمی و غیرآنزیمی، میزان خسارت اکسیداتیو را کاهش می‌دهند (Hasanuzzaman *et al.*, 2020). تنش غرقاب منجر به افزایش فعالیت کاتالاز، آسکوربات پراکسیداز، سوپر اکسید دیسموتاز و پلی فنل اکسیداز می‌شود (Bansal & Srivastava, 2012; Fazeli, Meskarbashee, & Rahnema, 2023b).

آنزیم‌های آنتی‌اکسیدان در شرایط غرقاب به‌طور متفاوتی عمل می‌نمایند. اعمال تنش غرقاب بر روی گیاهچه‌های کلزا (*Brassica napus* L.) سبب کاهش فعالیت کاتالاز ولی افزایش فعالیت سوپر اکسید دیسموتاز و پراکسیداز شد (Lee *et al.*, 2014). همچنین واکنش گیاهان به شرایط غرقاب بسته به گونه گیاهی، عمق و شدت و مدت زمان غرقاب و مرحله رشدی گیاه متفاوت است (Wu, Tang, Li, Wu, & Huang, 2015; Fazeli *et al.*, 2023a). مراحل حساس رشدی گیاه به تنش غرقاب از اهمیت خاصی برخوردار است. تنش غرقاب در مراحل مختلف رشدی گیاه می‌تواند صفات فیزیولوژیک، بیوشیمیایی و عملکردی گیاهان مختلف زراعی مانند گندم (*Triticum aestivum* L.) (Wu *et al.*, 2015)، کلزا (Gutierrez Boem, Lavado, & Porcelli, 1996)، و ماش (*Vigna radiata* L.) (Fazeli, Rahnema, & Hassibi, 2022) را به‌طور متفاوتی تحت تأثیر قرار دهد.

سطح زیر کشت گلرنگ (*Carthamus tinctorius* L.) در ایران حدود ۳۸۴۲ هکتار و تولید آن ۵۲۳۳ تن است. همچنین سطح زیر کشت در استان خوزستان ۶۰ هکتار و تولید آن ۹۸ تن است (Annual Report, 2022). نفوذ پذیری پایین خاک و عدم زهکشی مناسب همراه با تغییر اقلیم و الگوی بارندگی‌ها در این استان سبب

نمونه‌گیری از عمق صفر تا ۳۰ سانتی‌متری خاک مزرعه انجام شد. کاشت در سوم آذرماه انجام شد. بذره‌های گلرنگ روی سه پشته سه متری با فاصله ردیف ۶۰ سانتی‌متر و به‌صورت دو ردیف کاشت روی هر پشته به‌صورت زیگزاگ و فاصله ۱۰ سانتی‌متر روی هر ردیف کاشت در عمق سه تا پنج سانتی‌متری با تراکم حدود ۳۳۰ بوته در

مترمربع کشت شد. با توجه به نتایج آزمون خاک (جدول ۱)، ۱۰۰ کیلوگرم در هکتار فسفر از منبع سوپرفسفات معمولی و ۲۰۰ کیلوگرم در هکتار پتاسیم قبل از کاشت و ۱۰۰ کیلوگرم در هکتار نیتروژن خالص از منبع کود اوره به‌صورت کود پایه در زمان کاشت و کود سرک در اوایل گل‌دهی به خاک اضافه شد.

جدول ۱- نتایج تجزیه فیزیکی و شیمیایی خاک

Table 1- The results of physical and chemical analysis of soil

موادآلی	پتاسیم	فسفر	نیتروژن	اسیدیته	هدایت الکتریکی	بافت
O Materials (%)	K (mg kg ⁻¹)	P (mg kg ⁻¹)	N (%)	pH	EC (dS m ⁻¹)	Texture
0.53	151	13	0.04	7.8	2.8	لومی شنی Sandy loam

به‌منظور حفظ شرایط غرقاب، ارتفاع پشته‌های حاشیه کرت‌ها احیاء و تقویت شدند. سطح آب در طول مدت زمان اعمال تنش به‌طور دائم پایش و با حفظ شرایط طبیعی غرقاب در محیط مزرعه تا سطح پشته‌ها حفظ شد. به‌منظور اطمینان از عدم نشت رطوبت بین تیمارها، فاصله بین سطوح غرقاب و همچنین بین مراحل رشدی در هر سطح دو متر در نظر گرفته شد. به‌منظور فراهم آوردن شرایط غرقاب از یک نهر اصلی برای رساندن آب به کرت‌های اصلی استفاده شد. در انتهای کرت‌های اصلی نیز یک نهر عمیق به‌عنوان زهکش تعبیه شد، به‌گونه‌ای که پس از مدت زمان اعمال تنش از تداوم شرایط غرقاب برای مدت طولانی‌تر جلوگیری گردد. سطح آب کرت‌ها به‌طور مداوم مورد بررسی قرار گرفت و در صورت مشاهده کاهش سطح آب، به آن‌ها آب اضافه شد. شرایط غرقاب به‌مدت یک و دو روز در دو مرحله رویشی (ساقه‌دهی) و زایشی (آغاز گل‌دهی) اعمال شد. شروع تیمارهای غرقاب در مرحله رویشی ۷۰ روز پس از کاشت و مرحله زایشی ۹۵ روز پس از کاشت انجام شد.

هدایت روزنه‌ای برگ با استفاده از دستگاه پرومتر (Delta-T AP4 Devices, UK) و سرعت فتوسنتز با استفاده از دستگاه تحلیل‌گر مادون قرمز (IRGA, model LCA4, ADC Bioscientific Ltd. Hoddeston, UK) بین ساعت ۹/۳۰ صبح تا ۱۲ ظهر پس از پایان دوره تنش و همچنین یک هفته پس از آن (دوره بازیابی) بر روی آخرین برگ‌های توسعه‌یافته اندازه‌گیری شد. شاخص کلروفیل با استفاده از دستگاه کلروفیل‌متر (Monilota SPAD-502 Chlorophyll meter, Japan) بین ساعت ۱۰ صبح تا ۱۲ ظهر بر روی پنج نقطه از برگ‌های انتهایی انجام شد و میانگین مقادیر قرائت‌شده ثبت شد. جهت اندازه‌گیری فعالیت آنزیم‌های کاتالاز، پراکسیداز و سوپر اکسید دیسموتاز یک هفته پس از اعمال تنش بر روی آخرین برگ‌های توسعه‌یافته نمونه برداری شد. نمونه‌ها تا زمان سنجش فعالیت آنتی‌اکسیدانی درون فریزر -۷۰ درجه سانتی‌گراد نگهداری شد. فعالیت آنزیم کاتالاز با استفاده از روش بیرز

و سیزر (Beers & Sizer, 1952)، فعالیت آنزیم پراکسیداز با استفاده از روش ناکانو و آسادا (Nakano & Asada, 1981) و فعالیت آنزیم سوپر اکسید دیسموتاز به‌روش اسمیت و همکاران (Smith, Vierheller, & Thorne, 1988)، سنجش شد. در پایان فصل رشد و رسیدگی کامل دانه‌ها (اوایل خردادماه)، عملکرد دانه و عملکرد زیست‌توده پس از نمونه‌برداری از مساحت یک مترمربع برای هر واحد آزمایشی با رعایت اثر حاشیه محاسبه شد. محتوای روغن دانه با کمک حلال اتر و با روش سوکسله (FOSS, Model SOCCET 2050) تعیین گردید. عملکرد روغن در واحد سطح نیز از حاصل ضرب عملکرد دانه و محتوای روغن محاسبه شد. تجزیه و تحلیل داده‌های صفات مورد مطالعه به‌وسیله نرم‌افزار SAS نسخه ۹/۱ انجام گردید و برای مقایسه میانگین از آزمون توکی در سطح احتمال پنج درصد استفاده شد.

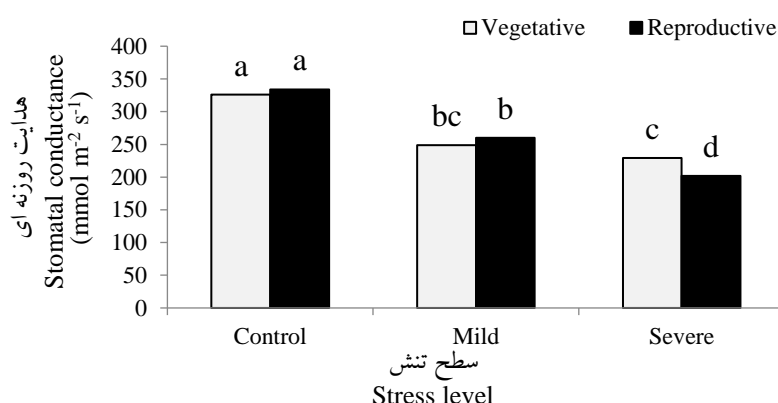
نتایج و بحث

هدایت روزنه‌ای

هدایت روزنه‌ای در زمان تنش و بازیابی پس از آن تنها تحت تأثیر سطوح تنش و برهم‌کنش مرحله رشدی و سطوح تنش قرار گرفت (جدول ۲). آبیاری مطلوب بیشترین (۳۳۰ میلی‌مول بر مترمربع بر ثانیه) و تنش غرقاب شدید کمترین (۲۱۵ میلی‌مول بر مترمربع بر ثانیه) مقدار هدایت روزنه‌ای را به خود اختصاص داد و تفاوت چندانی با تنش ملایم نداشت. بین مراحل رشدی نیز تفاوت معنی‌داری مشاهده نشد. تنش غرقاب منجر به کاهش معنی‌دار هدایت روزنه‌ای در زمان اعمال تنش شد و میزان کاهش در تنش ملایم و شدید به‌ترتیب برابر با ۲۴ و ۳۵ درصد نسبت به شرایط آبیاری مطلوب بود. مقادیر این کاهش در زمان بازیابی پس از تنش به‌ترتیب برابر ۱۱ و ۱۸ درصد بود. هدایت روزنه‌ای پس از بازیابی از تنش بهبود یافت، به‌گونه‌ای که میزان بهبود آن در دوران بازیابی در شرایط تنش ملایم

رشد که از دلایل رفتار گیاه در کاهش هدایت روزنه‌ای در هنگام تنش، کاهش عملکرد ریشه در شرایط کم‌اکسیژنی و هورمون اسید آبسزیک باشد، به گونه‌ای که در زمان کمبود اکسیژن با بسته شدن روزنه‌ها مانع از اتلاف آب و تعرق در گیاه شود و نیز تغییر رفتار گیاه پس از تبدیل شرایط بی‌هوایی به هوایی در محیط اطراف ریشه حاکی از آن است که با قرارگیری مجدد اکسیژن در معرض ریشه گیاه می‌تواند هدایت روزنه‌ای خود را نسبت به دوران تنش تا حدودی بهبود بخشد و از آنجاکه هدایت روزنه‌ای با فتوسنتز رابطه‌ای مستقیم دارد، بتواند مقداری از خسارات وارده بر گیاه را جبران نماید.

و شدید به ترتیب به میزان ۱۹ و ۲۵ درصد در مقایسه با مقادیر آن در زمان تنش بود (جدول ۳). برهم‌کنش مرحله رشدی و سطوح تنش نیز نشان داد که در شرایط تنش شدید، کاهش هدایت روزنه‌ای بلافاصله پس از تنش در مرحله زایشی به مراتب بیشتر از مرحله رویشی بود (شکل ۱). تحمل به تنش در گیاهان، در مجموع رفتار گیاه طی تنش و بازیابی پس از آن می‌باشد (Striker, 2012). احتمال می‌رود که در هنگام تنش غرقاب، کاهش هدایت هیدرولیکی ریشه (Parent, Capelli, Berger, Crèvecoeur, & Dat, 2008) و نیز سنتز و انتقال هورمون اسید آبسزیک باعث بسته شدن روزنه‌ها و کاهش هدایت روزنه‌ای شود. بسته شدن روزنه از اولین واکنش‌های گیاه به تنش بوده و عمده‌ترین دلیل کاهش فتوسنتز در شرایط تنش است



شکل ۱- تأثیر تنش غرقاب در مرحله رشد رویشی و زایشی بر هدایت روزنه‌ای گلرنگ

Figure 1- Effect of waterlogging stress at vegetative and reproductive stages on stomatal conductance of safflower

میانگین‌های دارای حروف مشترک با استفاده از آزمون توکی در سطح احتمال پنج درصد دارای اختلاف معنی‌دار نیستند.

Means followed by the same letters using Tukey's test at 5% probability level did not differ significantly

تأثیر سطوح تنش قرار گرفت (جدول ۲). فتوسنتز، عامل اصلی تعیین‌کننده رشد و عملکرد گیاهان محسوب می‌شود و توانایی حفظ آن در شرایط تنش‌های محیطی برای حفظ ثبات عملکرد مهم است. تنش غرقاب از طریق بستن روزنه‌ها منجر به کاهش معنی‌دار سرعت فتوسنتز در زمان اعمال تنش شد و میزان کاهش در تنش ملایم و شدید به ترتیب برابر با ۴۹ و ۶۰ درصد نسبت به شرایط آبیاری مطلوب بود. مقادیر این کاهش در زمان بازیابی پس از تنش به ترتیب برابر ۳۲ و ۴۰ درصد بود (جدول ۳). سرعت فتوسنتز پس از بازیابی از تنش بهبود یافت، به گونه‌ای که میزان بهبود آن در دوران بازیابی در شرایط تنش ملایم و شدید به ترتیب به میزان ۱۹ و ۳۳ درصد در مقایسه با مقادیر آن در زمان تنش بود (جدول ۳).

کاهش رشد گیاهان زراعی به واسطه محدود شدن فتوسنتز صورت می‌گیرد. کاهش فتوسنتز را می‌توان به کاهش هدایت روزنه‌ای نسبت داد که تحت تنش کاهش می‌یابد (Rahnama et al., 2010). در بسیاری از مطالعات، کاهش فتوسنتز همزمان با کاهش هدایت روزنه-

هدایت روزنه‌ای در دو زمان تنش و بازیابی، دارای همبستگی مثبت و معنی‌داری به ترتیب با فتوسنتز ($r=0.86^{**}$) و ($r=0.85^{**}$)، و عملکرد دانه ($r=0.89^{**}$) و ($r=0.75^{**}$) بود (جدول ۴). هدایت روزنه‌ای با تأثیر مستقیم بر سرعت فتوسنتز، عملکرد نهایی دانه را تحت تأثیر قرار می‌دهد. این همبستگی مثبت بیانگر نقش هدایت روزنه‌ای در حفظ فتوسنتز در شرایط عادی و تنش و در نتیجه دستیابی به عملکرد دانه بالاتر می‌باشد. تفاوت هدایت روزنه‌ای در تیمارهای تنش غرقاب، ناشی از واکنش سریع گیاه به تنش و بسته شدن روزنه‌های برگ به منظور جلوگیری از هدر روی آب است، به گونه‌ای که با کاهش هدایت روزنه‌ای، ورود دی اکسید کربن به برگ کاهش یافته و در نتیجه سبب کاهش سرعت فتوسنتز و به دنبال آن کاهش رشد و عملکرد زیست‌توده و دانه می‌شود.

سرعت فتوسنتز

سرعت فتوسنتز در زمان تنش و بازیابی پس از آن تنها تحت

در تولید مواد فتوسنتزی بیشتر برای تولید ماده خشک و عملکرد دانه و روغن است. با این حال، حفظ سبزیگی گیاه در شرایط تنش سبب تداوم فتوسنتز کافی و حفظ رشد گیاه و رسیدن به عملکرد مناسب گیاه می‌شود. از سوی دیگر، افزایش شدت تنش و کاهش شاخص کلروفیل، نشان‌دهنده تحمل پایین گیاه در مواجهه با شرایط غرقاب بود.

فعالیت آنزیم کاتالاز

فعالیت آنزیم کاتالاز به‌طور معنی‌داری تحت تأثیر سطوح تنش، مرحله رشدی و برهم‌کنش سطوح تنش و مرحله رشدی قرار گرفت (جدول ۲). کمترین مقدار فعالیت آنزیم کاتالاز مربوط به آبیاری مطلوب بود که با تیمار تنش غرقاب ملایم تفاوت معنی‌داری نداشت، ولی در تیمار تنش غرقاب شدید منجر به افزایش ۵۱ درصدی فعالیت این آنزیم در مقایسه با آبیاری مطلوب شد (جدول ۳). فعالیت کاتالاز در مراحل مختلف رشدی تفاوت معنی‌داری با یکدیگر نشان داد، به‌گونه‌ای که اثر شرایط غرقاب بر فعالیت این آنزیم در مرحله زایشی به‌مراتب بیشتر از مرحله رویشی (۲۲ درصد) بود (جدول ۳). تیمارهای تنش از نظر فعالیت کاتالاز واکنش متفاوتی نشان دادند، به‌گونه‌ای که بیش‌ترین فعالیت آنزیم کاتالاز نیز مربوط به تیمار تنش شدید در مرحله رشد زایشی بود (شکل ۲).

به نظر می‌رسد که میزان آسیب ناشی از تنش اکسیداتیو در مرحله زایشی بیشتر بوده و یکی از سازوکارهای گیاه برای کاهش این خسارت، افزایش فعالیت آنزیم‌های آنتی‌اکسیدان از جمله کاتالاز است. در شرایط تنش غرقاب، مقدار جذب و تثبیت دی‌اکسیدکربن به‌علت بسته‌شدن روزنه‌ها کاهش می‌یابد، در نتیجه انرژی حاصل از واکنش‌های نوری فتوسنتز تجمع می‌یابد و به‌دنبال آن افزایش گونه‌های اکسیژن واکنشگر رخ می‌دهد، این امر نیز سبب پراکسیداسیون لیپیدها و تغییر ساختار پروتئین‌ها می‌گردد و سنتز آنزیم‌هایی مانند کاتالاز در واکنش به تنش اکسیداتیو می‌شود (Mittler, Vanderauwera, 2004). به نظر می‌رسد که یکی از سازوکارهای تحمل به شرایط غرقاب شدید در هر دو مرحله رشدی، فعالیت بیشتر آنزیم کاتالاز باشد. کمبود اکسیژن در دسترس ریشه تحت شرایط غرقاب باعث مهار تنفس ریشه (Loreti, Van Veen, 2016 Perata, &), و متابولیسم فرآیند تخمیر در مقابل با تنفس هوازی منجر به تولید انرژی پایین می‌شود و طولانی‌تر شدن شرایط غرقاب منجر به تجمع متابولیت‌های سمی می‌شود (Zhang et al., 2017) و این ترکیبات سمی باعث مختل شدن متابولیسم گیاه و منجر به تولید گونه‌های اکسیژن واکنشگر و تنش اکسیداتیو می‌شود (Loreti et al., 2016).

ای در گیاهان در زمان تنش غرقاب مشاهده شده است (Malik, Colmer, Lambers, Setter, & Schortemeyer, 2002; Fazeli et al., 2023b) و از دیگر عوامل مؤثر در کاهش فتوسنتز در زمان تنش، می‌توان به کاهش میزان کلروفیل و تجمع کربوهیدرات‌ها در برگ به‌دلیل بسته بودن روزنه‌ها و عدم فتوسنتز اشاره کرد که خود بازخورد منفی روی فتوسنتز دارد و منجر به مهار آن می‌شود (Plaut, Mayor, & Reinhold, 1987). همچنین در دوران بازیابی، پیشنهاد شده است که بهبود هدایت روزنه‌ای در این دوران با الگوی بهبود سرعت فتوسنتز مشابه است و این بازیابی در بهبود فتوسنتز مؤثر است و می‌توان اثر هدایت روزنه‌ای بر فتوسنتز را با محاسبه دی‌اکسیدکربن بین سلولی ارزیابی کرد (Malik et al., 2002). سرعت فتوسنتز در زمان تنش دارای همبستگی مثبت و معنی‌دار با عملکرد دانه ($r=0.90^{**}$) بود (جدول ۴).

شاخص کلروفیل

شاخص کلروفیل به‌طور معنی‌داری تحت تأثیر سطوح تنش و مرحله رشدی قرار گرفت (جدول ۲). بیشترین مقدار شاخص کلروفیل مربوط به آبیاری مطلوب بود که با تنش غرقاب ملایم تفاوت معنی‌داری نداشت، ولی افزایش شدت تنش منجر به کاهش ۴۴ درصدی شاخص کلروفیل در مقایسه با آبیاری مطلوب شد (جدول ۳). شاخص کلروفیل برگ در مراحل مختلف رشدی تفاوت معنی‌داری با یکدیگر نداشت، به‌گونه‌ای که اثر شرایط غرقاب بر شاخص کلروفیل در مرحله زایشی به‌دلیل زرد شدن برگ‌های گیاه در اواخر دوره رشد به‌مراتب بیشتر بود و میزان کلروفیل کمتری در مقایسه با مرحله رویشی داشت (جدول ۳). یکی از دلایل کاهش فتوسنتز در شرایط غرقاب، کاهش غلظت کلروفیل برگ است (Malik et al., 2002). به نظر می‌رسد که در تنش ملایم، تغییر شرایط بی‌هوازی به هوازی منجر به بهبود سیستم ریشه‌ای و جذب عناصر غذایی از خاک می‌شود و با جذب نیتروژن در نهایت منجر به بهبود سبزیگی برگ و کارایی گیاه می‌شود، ولی با افزایش شدت تنش این بهبود به‌میزان کمتر رخ می‌دهد و اثر آن در کاهش معنی‌دار شاخص کلروفیل به‌عنوان یکی از اجزای مهم دخیل در فتوسنتز گیاه نمایان می‌گردد. به هر حال، شاخص کلروفیل به‌عنوان یکی از مهم‌ترین شاخص‌های بیان‌کننده اثر تنش‌های محیطی وارد بر گیاه به‌طور معنی‌داری کاهش یافت و دلیل آن را تخریب یا کاهش سنتز این رنگدانه دانسته‌اند (Manvelian, Weisany, Tahir, Jabbari, & Diyanat, 2021).

همبستگی مثبت و معنی‌دار شاخص کلروفیل با هدایت روزنه‌ای در زمان تنش و بازیابی ($r=0.73^{**}$) و ($r=0.72^{**}$)، فتوسنتز در زمان تنش و بازیابی به‌ترتیب ($r=0.46^{**}$) و ($r=0.58^{**}$)، عملکرد دانه ($r=0.69^{**}$)، و عملکرد روغن ($r=0.55^{**}$)، حاکی از نقش کلروفیل

جدول ۲- میانگین مربعات عملکرد، ویژگی های فتوسنتزی و فعالیت آنتی اکسیدانی کلرنگ در شرایط تنش غرقاب در مراحل مختلف رشدی
Table 2- Mean square for yield, photosynthetic characteristics, and antioxidant activity of safflower under waterlogging stress condition at different growth stage

منابع تغییرات S.O.V	درجه آزادی df	هدایت روزنه‌ای Stomatal conductance		سرعت فتوسنتز Photosynthetic rate		شاخص کلروفیل Chlorophyll index	فعالیت کاتالاز Catalase activity	فعالیت پراکسیداز Peroxidase activity	اکسید دیسموتاز Superoxide dismutase activity	عملکرد دانه Seed yield	عملکرد زیست توده Biological yield	شاخص برداشت Harvest index	محتوای روغن Oil content	عملکرد روغن Oil yield
		پس از تنش After stress	دوره بازپایی Recovery	پس از تنش After stress	دوره بازپایی Recovery									
		آزادی	دوره بازپایی	پس از تنش	دوره بازپایی									
میانگین مربعات Means of squares														
بلوک Block	2	173 ^{ns}	96 ^{ns}	66.5 ^{ns}	73 ^{ns}	81 ^{ns}	0.253 ^{ns}	0.003 ^{ns}	9.14 ^{ns}	17502 ^{ns}	45666 ^{ns}	2.2 ^{ns}	24.1 ^{ns}	8382 [*]
تنش غرقاب Waterlogging stress (WS)	2	12736 ^{**}	6047 ^{**}	4068 ^{**}	4625 ^{**}	1591 ^{**}	0.353 [*]	0.106 ^{**}	1432 ^{**}	1143005 ^{**}	11216985 ^{**}	42.9 ^{**}	41.9 [*]	34548 ^{**}
Ea	4	126	258	39.0	200	61.9	0.160	0.016	22.1	64986	5411668	1.57	13.5	1563
مرحله رشدی Growth stage (GS)	1	55.0 ^{ns}	668 ^{ns}	8.7 ^{ns}	217 ^{ns}	1136 ^{**}	1.08 ^{**}	0.040 [*]	234.2 ^{**}	22656 ^{ns}	6192630 ^{ns}	10.88 ^{ns}	0.20 ^{ns}	499 ^{ns}
WS × GS	2	368 [*]	307 ^{ns}	70.0 ^{ns}	226 ^{ns}	41.6 ^{ns}	0.158 [*]	0.191 ^{**}	99.5 ^{ns}	38686 [*]	4775709 ^{ns}	8.82 ^{ns}	0.095 ^{ns}	1450 ^{ns}
خطای فرعی Eb	6	91.5	356	24.0	274	31.1	0.030	0.009	34.4	12109	4053034	25.63	5.99	1472
ضریب تغییرات CV (%)	-	12.7	6.1	13.6	17.1	9.5	14.0	12.2	10.5	7.4	25.0	25.8	9.4	9.7

ns: not significant; *and ** significant at 5% and 1% probability levels, respectively
*: معنی دار در سطح یک درصد، **: معنی دار در سطح پنج درصد، ns: غیر معنی دار

جدول ۳- تأثیر تنش غرقاب در مراحل رشد رویشی و زایشی بر عملکرد، ویژگی‌های فتوسنتزی و فعالیت آنزیم اکسیداتی گل‌رنگ
Table 3- Effect of waterlogging stress at vegetative and reproductive stage on yield, photosynthetic characteristics, and antioxidant activity of safflower

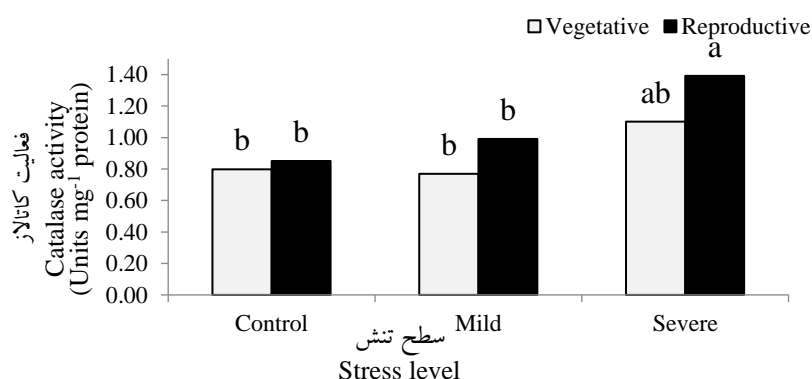
تیمارها Treatments	هدایت روزنه‌ای Stomatal conductance	سرعت فتوسنتز Photosynthetic rate	شاخص کلروفیل Chlorophyll index	اکسید دیسموتاز Superoxide dismutase activity (Units mg ⁻¹ protein)	عملکرد زیست- توده Biological yield (kg ha ⁻¹)	شاخص برداشت Harvest index (%)	محتوای روغن Oil content (%)	عملکرد روغن Oil yield (kg ha ⁻¹)
تنش غرقاب								
شاهد								
Control	330 ^{a*}	13.9 ^a	73 ^a	38.70 ^c	9590 ^a	22.2 ^a	24.0 ^b	469 ^a
تنش غرقاب (۲۴ ساعت)	254 ^b	8.1 ^b	63 ^a	42.09 ^{bc}	7586 ^b	19.7 ^b	28.9 ^a	393 ^b
تنش غرقاب (۴۸ ساعت)	215 ^b	6.1 ^b	41 ^b	46.31 ^a	6977 ^b	16.8 ^c	24.8 ^{ab}	317 ^c
مرحله رشدی								
Growth stage								
رشد رویشی	268 ^a	9.8 ^a	67 ^a	40.97 ^b	8638 ^a	18.8 ^a	25.9 ^a	412 ^a
رشد زایشی	265 ^a	8.9 ^a	51 ^b	43.76 ^a	7465 ^a	20.3 ^a	26.1 ^a	396 ^a
Reproductive stage								

* Means followed by the same letters for each trait in each column and each experimental factor using Tukey test at 5% probability level did not differ significantly.
* میانگین‌های دارای حروف مشترک برای هر صفت در هر ستون و هر فاکتور آزمایشی با استفاده از آزمون توکی در سطح احتمال پنج درصد دارای اختلاف معنی‌دار نیستند.

جدول ۴- ضرایب همبستگی بین صفات عملکردی، ویژگی‌های فتوسنتزی و فعالیت آنتی‌اکسیدانی گلرنگ در شرایط غرقاب

Table 4- Correlation coefficient between yield traits, photosynthetic characteristics, and antioxidant activity of safflower under waterlogging stress

ردیف Row	صفات Traits	1	2	3	4	5	6	7	8	9	10	11	12	13
1	هدایت روزنه‌ای Stomatal conductance	1												
2	هدایت روزنه‌ای بازایی Stomatal conductance	0.850**	1											
3	سرعت فتوسنتز Photosynthetic rate	0.866**	0.769**	1										
4	سرعت فتوسنتز بازایی Photosynthetic rate	0.845**	0.605**	0.833**	1									
5	شاخص کلروفیل Chlorophyll index	0.715**	0.763**	0.637**	0.583**	1								
6	فعالیت کاتالاز Catalase activity	-0.517*	-0.565*	-0.66**	-0.63**	-0.268 ^{ns}	1							
7	فعالیت پراکسیداز Peroxidase activity	-0.204 ^{ns}	-0.575*	-0.247 ^{ns}	-0.495*	-0.267 ^{ns}	-0.267 ^{ns}	1						
8	فعالیت سوپر اکسید دیسموتاز Catalase activity	-0.346 ^{ns}	0.695**	-0.425 ^{ns}	-0.547*	-0.247 ^{ns}	-0.267 ^{ns}	-0.347 ^{ns}	1					
9	عملکرد دانه Seed yield	0.896**	0.747**	0.905**	0.870**	0.685**	-0.247 ^{ns}	-0.379 ^{ns}	0.447 ^{ns}	1				
10	عملکرد زیست‌توده Biological yield	0.447*	0.400*	0.442*	0.348 ^{ns}	-0.371 ^{ns}	-0.353 ^{ns}	-0.531*	-0.631*	0.621**	1			
11	محتوای روغن Oil content	-0.232 ^{ns}	-0.114 ^{ns}	-0.179	-0.214*	-0.187 ^{ns}	0.161 ^{ns}	0.145 ^{ns}	0.185 ^{ns}	-0.355 ^{ns}	-0.365 ^{ns}	1		
12	عملکرد روغن Oil yield	0.771**	0.696**	0.780**	0.753**	0.544**	-0.251 ^{ns}	0.290 ^{ns}	0.280 ^{ns}	0.790**	0.454*	0.258 ^{ns}	1	
13	شاخص برداشت Harvest index	0.552*	0.392 ^{ns}	0.552*	0.622**	0.409 ^{ns}	0.152 ^{ns}	0.084 ^{ns}	0.380 ^{ns}	0.491*	-0.365 ^{ns}	-0.049 ^{ns}	0.408 ^{ns}	1



شکل ۲- تأثیر تنش غرقاب در مرحله رشد رویشی و زایشی بر فعالیت آنزیم کاتالاز گلرنگ

Figure 2- Effect of waterlogging stress at vegetative and reproductive stages on catalase activity of safflower

میانگین‌های دارای حروف مشترک با استفاده از آزمون توکی در سطح احتمال پنج درصد دارای اختلاف معنی‌دار نیستند.

Means followed by the same letters using Tukey's test at 5% probability level did not differ significantly

Teixeira da Silva, & Fujita, 2012). به نظر می‌رسد که مقدار اضافی پراکسید هیدروژن به آسانی در سلول غشاء نفوذ می‌کند و به عنوان یک بخش جدایی‌ناپذیر، با اکسید کردن گروه‌های تیول، آنزیم را غیرفعال می‌کند (Hasanuzzaman et al., 2012). همچنین گیاهان دارای سیستم دفاعی آنتی‌اکسیدانی بالا در طی

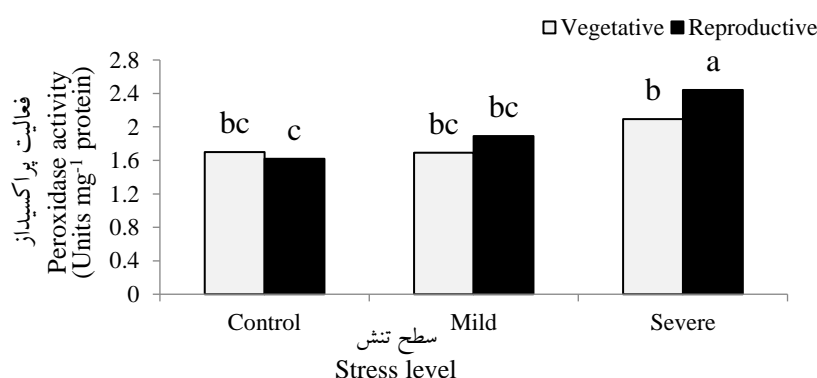
تنش غرقاب با افزایش فعالیت سیستم آنتی‌اکسیدانی تا حدی باعث کاهش آسیب وارده به گیاهان می‌شود. کاتالاز نیز به عنوان آنزیم آنتی‌اکسیدانی به طور فعال در کاهش پراکسید هیدروژن نقش دارد و روند افزایش پراکسید هیدروژن با روند افزایش شدت و مدت زمان تنش، تا حدی باعث کاهش فعالیت آنزیم کاتالاز به عنوان یک مهارکننده پراکسید هیدروژن می‌باشد (Hasanuzzaman, Hossain, 2012).

برای محافظت خود در برابر تنش رطوبتی، مجهز به سیستم‌های حذف‌کننده رادیکال آزاد هستند و آنزیم‌های آنتی‌اکسیدانی مانند کاتالاز و پراکسیداز بخشی از این سیستم محسوب می‌شود (Gill & Tuteja, 2010). افزایش فعالیت این آنزیم‌ها در مواجهه با تنش بیانگر آن است که گیاه از مزایای سازوکار دفاعی آنتی‌اکسیدانی این آنزیم برای مقابله در برابر تنش غرقاب شدید بهره برده است. به هر حال، آنزیم‌های آنتی‌اکسیدان در شرایط غرقاب به‌طور متفاوتی عمل می‌نمایند. برای مثال، اعمال تنش غرقاب روی گیاهچه‌های کلزا نشان داد که فعالیت کاتالاز کاهش، درحالی‌که فعالیت سوپر اکسید دیسموتاز و پراکسیداز افزایش یافت (Lee et al., 2014). بسیاری از محققان فعالیت این آنزیم را به‌عنوان یک عامل کلیدی در سم‌زدایی پراکسید هیدروژن، حذف مالون دی‌آلدئید و حفظ پایداری دیواره سلولی جهت حفاظت گیاهان در مقابل تنش‌های محیطی عنوان کرده‌اند (Gill & Tuteja, 2010). افزایش فعالیت آنزیم‌های کاتالاز و پراکسیداز در گل‌رنگ تحت شرایط سایر تنش‌های محیطی مانند تنش خشکی نیز گزارش شده است (Manvelian et al., 2021).

دوران بازیابی پس از تنش غرقاب، به احتمال زیاد آسیب کمتری را متحمل می‌شوند (Blokshina, Fagerstedt, & Chirkova, 1999). فعالیت کاتالاز همبستگی منفی و معنی‌داری با هدایت روزنه‌ای در دوره بازیابی از تنش ($r = -0.57^{**}$) داشت (جدول ۴). این همبستگی منفی بر وقوع تنش اکسیداتیو ناشی از بسته شدن روزنه‌ها و افزایش فعالیت آنتی‌اکسیدانی کاتالاز تأکید دارد.

فعالیت آنزیم پراکسیداز

فعالیت آنزیم پراکسیداز به‌طور معنی‌داری تحت تأثیر سطوح تنش و برهم‌کنش سطوح تنش و مرحله رشدی قرار گرفت (جدول ۲). تیمار تنش غرقاب شدید منجر به افزایش ۳۶ درصدی فعالیت این آنزیم در مقایسه با آبیاری مطلوب شد، ولی بین آبیاری مطلوب و تنش غرقاب ملایم تفاوت معنی‌داری وجود نداشت (جدول ۳). فعالیت آنزیم پراکسیداز در سطوح تنش در هر دو مرحله رشدی روند متفاوتی را نشان داد، به‌گونه‌ای که در مرحله زایشی، فعالیت این آنزیم در تنش غرقاب شدید بیشتر از مرحله رویشی بود (شکل ۳). سلول‌های گیاهی



شکل ۳- تأثیر تنش غرقاب در مرحله رشد رویشی و زایشی بر فعالیت آنزیم پراکسیداز گل‌رنگ

Figure 3- Effect of waterlogging stress at vegetative and reproductive stages on peroxidase activity of safflower

میانگین‌های دارای حروف مشترک با استفاده از آزمون توکی در سطح احتمال پنج درصد دارای اختلاف معنی‌دار نیستند.

Means followed by the same letters using Tukey's test at 5% probability level did not differ significantly.

(Chen, 2012). در این پژوهش، افزایش فعالیت آنزیم کاتالاز و پراکسیداز همزمان با افزایش شدت تنش در مرحله زایشی در دوران پس از تنش، تا حدودی حاکی از تحمل گیاه در برابر شرایط بی‌اکسیژنی و آسیب ناشی از تنش اکسیداتیو بود.

فعالیت سوپر اکسید دیسموتاز

فعالیت آنزیم سوپر اکسید دیسموتاز در سطوح مختلف تنش و در مراحل مختلف رشدی متفاوت بود (جدول ۲). روند تغییرات فعالیت این آنزیم در برخورد با تنش شدید غرقاب به‌صورت افزایشی بود. تنش غرقاب سبب افزایش معنی‌دار فعالیت این آنزیم شد، به‌گونه‌ای

فعالیت آنزیم‌ها و آنتی‌اکسیدان‌های مهارکننده برای حفاظت از گیاه در مقابل تنش اکسیداتیو ناشی از شرایط غرقاب تحریک می‌شود (Blokshina et al., 1999). گزارش شده است که آنزیم‌های پراکسیداز و کاتالاز در شرایط غرقاب در مراحل اولیه رشدی افزایش یافتند و این افزایش به‌طور قابل توجهی در ارقام متحمل جو (Zhang, Tanakamaru, Abe, & Morita, 2007) و گندم (Fazeli et al., 2023a) مشاهده شد؛ درحالی‌که در ارقام حساس کاهش یافت. در مطالعات پیشین، افزایش بیان ژن پراکسیداز و کاهش بیان ژن کاتالاز، سوپر اکسید دیسموتاز و گلو‌تاتیون ردوکتاز تحت تنش غرقاب گزارش شده است (Qi, Xu, Lin, Zhang, & ...).

است. برای مثال، مشخص شده است که اعمال تنش غرقاب روی گیاهچه‌های کلزا سبب کاهش فعالیت آنزیم کاتالاز شد، درحالی‌که فعالیت آنزیم سوپر اکسید دیسموتاز و پراکسیداز افزایش یافت (Lee *et al.*, 2014). سوپر اکسید دیسموتاز و کاتالاز، سیستم‌های دفاعی آنتی‌اکسیدانی مهمی هستند که تقریباً در تمام سلول‌های زنده در معرض اکسیژن قرار دارند (Soengas *et al.*, 2018).

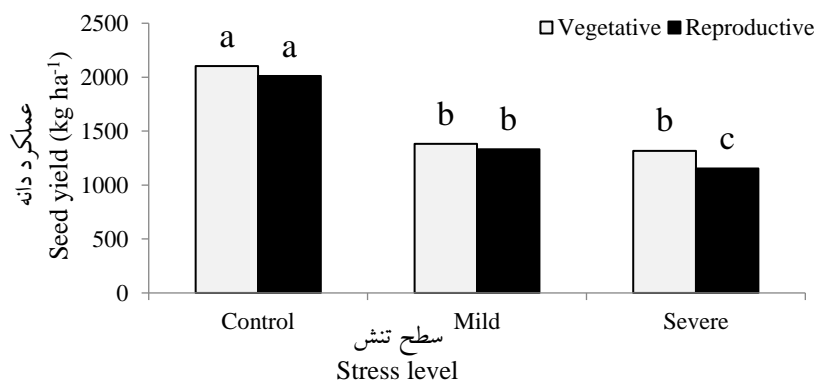
عملکرد دانه

آبیاری مطلوب بیشترین و تنش غرقاب شدید کمترین عملکرد دانه را به خود اختصاص داد. تنش غرقاب در مرحله رشد رویشی و زایشی تفاوت معنی‌داری از نظر عملکرد دانه ایجاد نکرد، هرچند تأثیر نامطلوب تنش در مرحله زایشی تا حدودی بیشتر از مرحله رویشی بود (جدول ۳). تنش غرقاب منجر به کاهش معنی‌دار عملکرد دانه در هر دو مرحله رشدی شد، به‌گونه‌ای که میزان کاهش در تنش ملایم و شدید به‌ترتیب برابر با ۳۴ و ۴۰ درصد در مقایسه با آبیاری مطلوب بود (جدول ۳). میزان کاهش عملکرد دانه در سطوح مختلف تنش و مراحل رشدی متفاوت بود، به‌گونه‌ای که بیشترین کاهش در مقایسه با آبیاری مطلوب (۴۳ درصد) در شرایط تنش شدید در مرحله رشد زایشی مشاهده شد (شکل ۴). به عبارتی، تنش غرقاب شدید در مراحل رویشی و زایشی عملکرد دانه را به‌طور متفاوتی کاهش داد.

که سطح تنش شدید منجر به افزایش ۱۹ درصدی فعالیت این آنزیم در مقایسه با آبیاری مطلوب شد، درحالی‌که این افزایش برای سطح تنش ملایم تنها هشت درصد بود که با آبیاری مطلوب تفاوت معنی‌داری داشت (جدول ۳). افزایش فعالیت آنزیم سوپر اکسید دیسموتاز در واکنش به تنش غرقاب قبلاً نیز گزارش شده است (Lee *et al.*, 2023a; Fazeli *et al.*, 2014). مراحل رشدی از نظر فعالیت آنزیم سوپر اکسید دیسموتاز واکنش متفاوتی نشان دادند، به‌گونه‌ای که بیش‌ترین فعالیت این آنزیم مربوط به تیمار تنش در مرحله رشد زایشی (۴۳/۷۶ واحد بر میلی گرم پروتئین) در مقایسه با رشد رویشی (۴۰/۹۷ واحد بر میلی گرم پروتئین) بود (شکل جدول ۳).

گفته شده است که تنش غرقاب همانند سایر تنش‌های غیرزیستی از طریق اختلال در آنزیم‌ها و مسیرهای متابولیک باعث تجمع گونه‌های اکسیژن واکنشگر می‌شود، که مسئول تنش اکسیداتیو هستند (Asada, 2006). افزایش فعالیت سوپر اکسید دیسموتاز به‌موازات افزایش فعالیت کاتالاز، آسکوربات پراکسیداز و پلی فنل اکسیداز در شرایط تنش غرقاب در سایر گیاهان از جمله کلزا (Lee *et al.*, 2014; Bansal & Cicer arietinum L.)، نخود (Zhang *et al.*, 2019) و سورگوم (*Sorghum bicolor* L.) (Srivastava, 2012) نیز قبلاً گزارش شده است.

همچنین واکنش متفاوت آنزیم کاتالاز و سوپر اکسید دیسموتاز در واکنش به تنش غرقاب در برخی مطالعات نیز گزارش شده



شکل ۴- تأثیر تنش غرقاب در مرحله رشد رویشی و زایشی بر عملکرد دانه کلرنگ

Figure 4- Effect of waterlogging stress at vegetative and reproductive stages on seed yield of safflower

میانگین‌های دارای حروف مشترک با استفاده از آزمون توکی در سطح احتمال پنج درصد دارای اختلاف معنی‌دار نیستند.

Means followed by the same letters using Tukey's test at 5% probability level did not differ significantly

تأثیرگذار دیگر مانند تاریخ کاشت و دمای بالای هوا در انتهای فصل رشد نسبت داده شده است (De San Celedonio, Abeledo, Brihet, & Miralles, 2014).

مطابق با نتایج این پژوهش، در سایر مطالعات نیز مشخص شده است که تنش غرقاب در مرحله رشد رویشی کلزا منجر به کاهش ۷۵

میزان کاهش عملکرد بسته به عوامل مختلف مانند مدت زمان تنش، مراحل رشدی و عمق تنش غرقاب می‌تواند متفاوت باشد (Wu *et al.*, 2015). مشخص شده است که عملکرد دانه در مرحله گل‌دهی در مقایسه با مراحل رویشی، به‌مقدار بیشتری کاهش می‌یابد و این کاهش به اهمیت عرضه مواد فتوسنتزی در آن مرحله و عوامل

بیشترین مقدار شاخص برداشت مربوط به تیمار آبیاری مطلوب و کمترین آن مربوط به تنش غرقاب شدید بود (جدول ۳). مدت زمان تنش غرقاب و زمان وقوع آن از جمله عوامل تأثیرگذار بر عملکرد دانه و زیست‌توده است. به نظر می‌رسد که در شرایط تنش ملایم به دلیل مواجهه گیاه با شرایط غرقاب طی مدت زمان کمتر در مقایسه با تنش شدید، عملکرد دانه در مقایسه با عملکرد زیست‌توده کمتر تحت تأثیر تنش قرار گرفته است و همین امر سبب برتری مقادیر شاخص برداشت در مقایسه با تنش شدید شد (جدول ۳). باین‌حال، نتایج سایر مطالعات در زمینه تأثیر تنش غرقاب در گندم نشان داد که تنش غرقاب قبل از مرحله گل‌دهی تأثیری بر وزن زیست‌توده و شاخص برداشت نداشت، درحالی که پس از گل‌دهی سبب کاهش وزن زیست‌توده و افزایش شاخص برداشت شد (Ding et al., 2020).

محتوای روغن

محتوای روغن تنها تحت تأثیر تنش قرار گرفت (جدول ۲). براساس نتایج مقایسه میانگین‌ها، کمترین و بیشترین محتوای روغن به ترتیب از آبیاری مطلوب به میزان ۲۴ درصد و تنش غرقاب ملایم به میزان ۲۸/۹ درصد حاصل شد. در شرایط تنش شدید، تفاوت معنی‌داری از نظر درصد روغن در مقایسه با آبیاری مطلوب مشاهده نشد. به عبارتی با شروع تنش ملایم، محتوای روغن افزایش یافت (جدول ۳). افزایش معنی‌دار محتوای روغن در شرایط تنش ملایم را می‌توان به تأثیرپذیری بیشتر ساخت کربوهیدرات‌ها از تنش غرقاب و در نتیجه کاهش بیشتر عملکرد دانه این ارقام نسبت داد، به عبارتی سهم کاهش ساخت کربوهیدرات‌ها بیشتر از سهم ساخت روغن بوده و این امر به صورت افزایش محتوای روغن نمایان شده است، درحالی‌که به نظر می‌رسد در شرایط تنش شدید، سهم این کاهش یکسان باشد (جدول ۳).

اطلاعات اندکی در زمینه تأثیر تنش غرقاب بر محتوای روغن دانه‌های روغنی وجود دارد. گفته می‌شود که کاهش جذب نیتروژن در زمان غرقاب در مرحله طویل شدن ساقه، سبب کاهش محتوای پروتئین دانه می‌شود (Gutierrez-Boem et al., 1996) و از آنجایی که درصد پروتئین دانه رابطه‌ای عکس با محتوای روغن دارد، بنابراین هرچه درصد پروتئین بالا باشد، محتوای روغن کاهش می‌یابد و بالعکس (Brennan, Mason, & Walton, 2000). در گیاه کلزا گزارش شده است که در شرایط تنش غرقاب، محتوای روغن از ۴۲ به ۴۵ درصد افزایش یافت (Wollmer et al., 2018). برخی پژوهشگران گزارش دادند که این صفت عمدتاً به ژنتیک گیاه بستگی دارد و تحت اثر محیط قرار نمی‌گیرد (Koutroubas, Papakosta, & Doitsinis, 2008)، از سوی دیگر، برخی معتقدند که تفاوت

درصدی عملکرد دانه شد، درحالی‌که این کاهش در شرایط مواجهه با تنش در ابتدای مرحله زایشی به ۸۵ درصد رسید (Wollmer, Pitann, & Muehling, 2018). از سایر عوامل تأثیرگذار بر کاهش عملکرد دانه می‌توان به تغییرات فیزیولوژیک و مورفولوژیک مانند اجزای عملکرد، وزن زیست‌توده و تخصیص مواد به دانه اشاره کرد. برای مثال، تغییر مقادیر عملکرد دانه در کلزا دارای ارتباط بالایی با تغییرات تجمع و توزیع مجدد مواد فتوسنتزی به دانه بود (Wang et al., 2016). در این پژوهش نیز تنش غرقاب از طریق تأثیر بر اجزای عملکرد از جمله تعداد طبق در بوته، تعداد دانه در طبق، تعداد دانه در بوته، وزن هزار دانه و همچنین کاهش تعداد شاخه‌های فرعی و فرعی فرعی سبب کاهش عملکرد دانه گردید (داده‌ها نشان داده نشده است). به هر جهت، کاهش معنی‌دار عملکرد دانه در شرایط غرقاب بیانگر ظرفیت بازیابی و تحمل پایین گیاه در برابر سطوح تنش اعمال شده بود.

عملکرد زیست‌توده

تنش غرقاب سبب کاهش معنی‌دار عملکرد زیست‌توده در هر دو سطح تنش ملایم و شدید گردید، اگرچه بین مراحل رشدی و برهم‌کنش تنش و مراحل رشدی تفاوت معنی‌داری وجود نداشت (جدول ۲). آبیاری مطلوب بیشترین و تنش شدید کمترین عملکرد زیست‌توده را به خود اختصاص داد و بین سطوح تنش ملایم و شدید تفاوت معنی‌داری وجود نداشت. مقادیر درصد کاهش عملکرد زیست‌توده در شرایط ناشی از تنش غرقاب ملایم و شدید در مقایسه با آبیاری مطلوب به ترتیب به میزان ۲۱ و ۲۷ درصد بود (جدول ۳).

زراعت گلرنگ ممکن است در کشت پاییزه بسیاری از مناطق خوزستان با شرایط تنش غرقاب روبه‌رو شود، بر همین اساس، اجتناب از این شرایط در منطقه از اهمیت خاصی برخوردار است. در خاک‌های مستعد شرایط غرقاب، کاهش تنفس ریشه در اثر کمبود اکسیژن، رشد گیاه را محدود می‌کند (Huang & Johnson, 1995). در چنین شرایطی، انتقال اکسیژن بین ریشه‌ها و اندام هوایی تحت تأثیر قرار گرفته و سبب سرکوب فرآیندهای وابسته به اکسیژن و مهار جذب کربن و فتوسنتز می‌شود و در نهایت، تغییرات در متابولیسم گیاه و جذب مواد مغذی تحت شرایط کمبود اکسیژن، باعث محدود شدن رشد و کاهش زیست‌توده و عملکرد دانه می‌شود (Gutierrez-Boem et al., 1996).

شاخص برداشت

تنش غرقاب سبب کاهش معنی‌دار شاخص برداشت در هر دو سطح تنش ملایم و شدید شد، ولی بین مراحل رشدی و برهم‌کنش تنش و مراحل رشدی تفاوت معنی‌داری وجود نداشت (جدول ۲).

نتیجه گیری

در این پژوهش، تیمارهای مدت زمان غرقاب در مراحل مختلف رشد گلرنگ به طور متفاوتی ویژگی های فتوسنتزی و فعالیت آن تی اکسیدانی و همچنین عملکرد دانه و روغن این گیاه را تحت تأثیر قرار داد. مرحله رشدی و مدت زمان غرقاب نقش مهمی در واکنش به تنش داشت. تنش غرقاب در هر دو مرحله رشد رویشی و زایشی منجر به کاهش معنی دار عملکرد دانه شد، به گونه ای که میزان کاهش در تنش ملایم و شدید در مقایسه با آبیاری مطلوب به ترتیب برابر با ۳۴ و ۴۰ درصد بود. همچنین مقادیر کاهش در سطوح مختلف تنش و مراحل رشدی متفاوت بود، به گونه ای که بیشترین کاهش عملکرد دانه در مقایسه با آبیاری مطلوب در شرایط تنش شدید در مرحله رشد زایشی (۴۳ درصد کاهش) مشاهده شد. افزایش فعالیت آنزیم های آن تی اکسیدان کاتالاز، پراکسیداز و سوپر اکسید دیسموتاز نقش مهمی در ایجاد انطباق گیاه با شرایط غرقاب داشتند. براساس این نتایج، به نظر می رسد که تقویت شیوه های مدیریتی مزارع گلرنگ در منطقه خوزستان در فصل زمستان ضروری باشد و از آنجایی که تنش غرقاب غالباً پدیده ای گذرا و موقتی است، لذا هنگام وقوع سیل بارندگی های سنگین، به منظور حذف آب مازاد و جلوگیری از کاهش خسارات اقتصادی گلرنگ باید زهکشی سطحی و زیرسطحی خاک در مزرعه انجام شود.

سپاسگزاری

بدین وسیله نویسندگان از حمایت های معاونت پژوهش و فناوری دانشگاه شهید چمران اهواز به شماره پژوهانه SCU.AA99.96 کمال قدردانی را دارند.

محتوای روغن در بین ژنوتیپ ها نتیجه برهم کنش ژنوتیپ و محیط است و بیان ژن های کنترل کننده تولید روغن تابعی از شرایط محیط است (Hussain, Lyra, Farooq, Nikoloudakis, & Khalid, 2016). مشخص شده است که محتوای کربوهیدرات های محلول می تواند به دانه یعنی منبع اصلی کربن برای متابولیسم چربی دانه های کلزا منتقل شود (Khan et al., 2018). بنابراین، وضعیت فتوسنتز و سیستم ریشه ای در جذب مواد مغذی و مدت زمان تنش و مراحل رشدی می تواند بر محتوای روغن بذر مؤثر واقع شود. در زمان وقوع تنش، پویایی گیاه تغییر می کند و ممکن است اولویت انتقال مواد فتوسنتزی برای رشد دانه ها تغییر یابد، و کاهش دسترسی به آب ممکن است باعث افزایش جزئی محتوای روغن دانه ها شود (Zandi, Rahnama, & Meskarbashi, 2023).

عملکرد روغن

عملکرد روغن در تنش ملایم و شدید در مقایسه با آبیاری مطلوب به طور معنی داری به ترتیب به میزان ۱۶ و ۳۲ درصد کاهش یافت و بین مراحل رشدی نیز تفاوت معنی داری وجود نداشت (جدول ۲ و ۳). بیشترین عملکرد روغن در آبیاری مطلوب و کمترین مقدار آن در تنش شدید مشاهده شد (جدول ۳). عملکرد روغن به دو عامل عملکرد دانه و محتوای روغن بستگی دارد و دلیل کاهش عملکرد روغن در تنش ملایم و شدید علی رغم افزایش محتوای روغن، کاهش عملکرد دانه بود. بنابراین علی رغم افزایش محتوای روغن، عملکرد روغن کاهش یافت (Sheikh Mamo, Rahnama, & Hassibi, 2023). در این پژوهش، کمترین عملکرد روغن در تنش غرقاب شدید مشاهده شد که این امر به کاهش عملکرد دانه علی رغم تغییر در محتوای روغن نسبت داده می شود. وجود همبستگی مثبت و معنی دار بین عملکرد روغن با عملکرد دانه ($r = 0.79^{**}$)، نیز بر نقش عملکرد دانه در تعیین عملکرد روغن تأکید دارد (جدول ۴).

References

1. Annual Report. 2022. Annual harvested area, production, and yield in 2021-2022. Ministry of Agriculture Jihad. Iran.
2. Arbona, V., Hossain, Z., López-Climent, M. F., Pérez-Clemente, R. M., & Gómez-Cadenas A. (2008). Antioxidant enzymatic activity is linked to waterlogging stress tolerance in citrus. *Physiology Plantarum*, 132, 452-466. <https://doi.org/10.1111/j.1399-3054.2007.01029.x>
3. Asada, K. (2006). Production and scavenging of reactive oxygen species in chloroplasts and their functions. *Plant Physiology*, 141(2), 391-6. <https://doi.org/10.1104/pp.106.082040>
4. Ashraf, M. A. (2012). Waterlogging stress in plants: A review. *African Journal of Agricultural Research*, 7, 1976-1981.
5. Bailey-Serres, J., Lee, S. C., & Brinton, E. (2012). Waterproofing crops: Effective flooding survival strategies. *Plant Physiology*, 160(4), 1698-709. <https://doi.org/10.1104/pp.112.208173>.
6. Bansal, R., & Srivastava, J. P. (2012). Antioxidative defense system in pigeonpea roots under waterlogging stress. *Acta Physiologiae Plantarum*, 34, 515-522. <https://doi.org/10.1007/s11738-011-0848-z>
7. Beers, R. F., & Sizer, I. W. (1952). A spectrophotometric method for measuring the breakdown of hydrogen peroxide by catalase. *Journal of Biological Chemistry*, 195(1), 133-40.

8. Blokhina, O. B., Fagerstedt, K. V., & Chirkova, T. V. (1999). Relationships between lipid peroxidation and anoxia tolerance in a range of species during post-anoxic reaeration. *Physiologia Plantarum*, 105, 625-632. <https://doi.org/10.1034/j.1399-3054.1999.105405.x>
9. Brennan, R. F., Mason, M. G., & Walton, G. H. (2000). Effect of nitrogen fertilizer on the concentrations of oil and protein in canola (*Brassica napus* L.) seed. *Journal of Plant Nutrition*, 23(3), 339-348. <https://doi.org/10.1080/01904160009382020>
10. De San Celedonio, R. P., Abeledo, L. G., Brihet, J. M., & Miralles, D. J. (2014). Waterlogging affects leaf and tillering dynamics in wheat and barley. *Journal of Agronomy and Crop Science*, 202(5), 409-420. <https://doi.org/10.1111/jac.12151>
11. Ding, J., Liang, P., Wu, P., Zhu, M., Li, C., Zhu, X., Gao, D., Chen, Y., & Guo, W. (2020). Effects of waterlogging on grain yield and associated traits of historic wheat cultivars in the middle and lower reaches of the Yangtze river, China. *Field Crops Research*, 264, 107695. <https://doi.org/10.1016/j.fcr.2019.107695>
12. Fazeli, S. B., Rahnama, A., & Hassibi, P. (2022). Effect of waterlogging stress on yield and yield components and photosynthetic characteristics of two Mung bean cultivars in Ahvaz conditions. *Plant Productions*, 45(1), 95-108. <https://doi.org/10.22055/ppd.2020.30538.1805>
13. Fazeli, S. B., Meskarbashee, M. & Rahnama, A. (2023a). Effect of waterlogging stress at the three-leaf stage on the growth and some physiological characteristics of bread wheat (*Triticum aestivum* L.). *Plant Productions*, 46(2), 279-292. <https://doi.org/10.22055/ppd.2023.42792.2072>
14. Fazeli, S. B., Meskarbashee, M. & Rahnama, A. (2023b). Evaluation of waterlogging tolerance in twenty-one cultivars and genotypes of bread wheat (*Triticum aestivum* L.) and its effect on some physiological characteristics of shoot and root system at the three-leaf stage. *Iranian Journal of Field Crops Research*, 21(3), 303-318. <https://doi.org/10.22067/jcesc.2023.80038.1209>
15. Gill, S. S., & Tuteja, N. (2010). Reactive oxygen species and antioxidant machinery in abiotic stress tolerance in crop plants. *Plant Physiology Biochemistry*, 48(12), 909-30. <https://doi.org/10.1016/j.plaphy.2010.08.016>
16. Grassini, P., Indaco, G. V., Pereira, M. L., Hall, A. J., & Trápani, N. (2007). Responses to short-term waterlogging during grain filling in sunflower. *Field Crops Research*, 101, 352-363. <https://doi.org/10.1016/j.fcr.2006.12.009>
17. Gutierrez Boem, F. H., Lavado, R. S., & Porcelli, C. A. (1996). Note on the effects of winter and spring waterlogging on growth, chemical composition and yield of rape seed. *Fied Crops Research*, 47, 175-179. [https://doi.org/10.1016/0378-4290\(96\)00025-1](https://doi.org/10.1016/0378-4290(96)00025-1)
18. Hasanuzzaman, M., Bhuyan, M., Zulfiqar, F., Raza, A., Mohsin, S. M., Mahmud, J. A., Fujita, M., & Fotopoulos, V. (2020). Reactive oxygen species and antioxidant defense in plants under abiotic stress: Revisiting the crucial role of a universal defense regulator. *Antioxidants*, 9, 681. <https://doi.org/10.3390/antiox9080681>
19. Hasanuzzaman, M., Hossain, M. A., Teixeira da Silva, J. A., & Fujita, M. (2012). Plant responses and tolerance to abiotic oxidative stress: Antioxidant defense is a key factor. In *Crop Stress and its Management: Perspectives and Strategies*. In: V. A. Bandi, K. Shanker, C. Shanker, M. Mandapaka (Eds.); Springer: Berlin, Germany. 261–316.
20. Huang, B., & Johnson, J. W. (1995). Root respiration and carbohydrate status of two wheat genotypes in response to hypoxia. *Annals of Botany*, 75, 423-427. <https://doi.org/10.1006/anbo.1995.1041>
21. Hussain, M. I., Lyra, D. A., Farooq, M., Nikoloudakis, N., & Khalid, N. (2016). Salt and drought stresses in safflower: A review. *Agronomy for Sustainable Development*, 36, 4. <https://doi.org/10.1007/s13593-015-0344-8>
22. Khan, S., Anwar, S., Kuai, J., Noman, A., Shahid, M., Din, M., Ali, A., & Zhou, G. (2018). Alteration in yield and oil quality traits of winter rapeseed by lodging at different planting density and nitrogen rates. *Scientific Reports*, 8, 634. <https://doi.org/10.1038/s41598-017-18734-8>
23. Koutroubas, S. D., Papakosta, D. K., & Doitsinis, A. (2008). Nitrogen utilization efficiency of safflower hybrids and open-pollinated varieties under Mediterranean conditions. *Field Crops Research*, 107(1), 56-61. <https://doi.org/10.1016/j.fcr.2007.12.009>
24. Lee, Y. H., Kim, K. S., Jang, Y. S., Hwang, J. H., Lee, D. H., & Choi, I. H. (2014). Global gene expression responses to waterlogging in leaves of rape seedlings. *Plant Cell Reports*, 33, 289-299. <https://doi.org/10.1007/s00299-013-1529-8>
25. Loreti, E., Van Veen, H., & Perata, P. (2016) Plant responses to flooding stress. *Current Opinion in Plant Biology*, 33, 64-71. <https://doi.org/10.1016/j.pbi.2016.06.005>
26. Malik, A. L., Colmer, D. T., Lambers, H., Setter, T. L., & Schortemeyer, M. (2002). Short-term waterlogging has long-term effects on the growth and physiology of wheat. *New Phytolog*, 153, 225-236. <http://dx.doi.org/10.1046/j.0028-646X.2001.00318.x>
27. Manvelian, J., Weisany, W., Tahir, N. A. R., Jabbari, H., & Diyanat, M. (2021). Physiological and biochemical response of safflower (*Carthamus tinctorius* L.) cultivarsto zinc application under droughtstress. *Industrial Crops and Products*, 172, 15. <https://doi.org/10.1016/j.indcrop.2021.114069>
28. Mittler, R., Vanderauwera, S., Gollery, M., & Van Breusegem, F (2004). Reactive oxygen gene network of plants. *Trends in Plant Science*, 9(10), 490-8. <https://doi.org/10.1016/j.tplants.2004.08.009>
29. Nakano, Y., & Asada, K. (1981). Hydrogen peroxide is scavenged by ascorbate-specific peroxidase in spinach

- chloroplasts. *Plant and Cell Physiology*, 22(5), 867–880. <https://doi.org/10.1093/oxfordjournals.pcp.a076232>
30. Parent, C., Capelli, N., Berger, A., Crèvecoeur, M., & Dat, J. F. (2008). An overview of plant responses to soil waterlogging. *Plant Stress*, 2, 20-27.
 31. Plaut, Z., Mayoral, M. L., & Reinhold, L. (1987). Effect of altered sink: Source ratio on photosynthetic metabolism in source leaves. *Plant Physiology*, 85, 786-791. <https://doi.org/10.1104/pp.85.3.786>
 32. Qi, X. H., Xu, X. W., Lin, X. J., Zhang, W. J., & Chen, X. H. (2012). Identification of differentially expressed genes in cucumber (*Cucumis sativus* L.) root under waterlogging stress by digital gene expression profile. *Genomics*, 99, 160-168. <https://doi.org/10.1016/j.ygeno.2011.12.008>
 33. Rahnema, A., Poustini, K., Munns, R., & James, R. A. (2010). Stomatal conductance as a screen for osmotic stress tolerance in durum wheat growing in saline soil. *Functional Plant Biology*, 37, 255-263. doi: <http://doi.org/10.1071/fp09148>.
 34. Shahrokhnia, M. H., & Sepaskhah, A. R. (2017). Physiologic and agronomic traits in safflower under various irrigation strategies, planting methods and nitrogen fertilization. *Industrial Crops and Products*, 95, 126-139. <https://doi.org/10.1016/j.indcrop.2016.10.021>
 35. Sheikh Mamo, B., Rahnema, A., & Hassibi, P. (2023). The influence of terminal heat stress on physiological and yield characteristics of promising sunflower cultivars in Ahvaz climate condition. *Environmental Stresses in Crop Sciences*, 16(3), 835-851. <https://doi.org/10.22077/escs.2023.4928.2107>
 36. Smith, I. K., Vierheller, T. L., & Thorne, C. A. (1988). Assay of glutathione reductase in crude tissue homogenates using 5,5'-dithiobis (2-nitrobenzoic acid). *Analytical Biochemistry*, 175(2), 408-13. [https://doi.org/10.1016/0003-2697\(88\)90564-7](https://doi.org/10.1016/0003-2697(88)90564-7).
 37. Soengas, P., Rodríguez, V. M., Velasco, P., & Cartea, M. E. (2018). Effect of temperature stress on antioxidant defenses in *Brassica oleracea*. *ACS Omega*, 3(5), 5237-5243. <https://doi.org/10.1021/acsomega.8b00242>
 38. Striker, G. G. (2012). Time is on our side: The importance of considering a recovery period when assessing flooding tolerance in plants. *Ecological Research*, 27, 983-987. <https://doi.org/10.1007/s11284-012-0978-9>
 39. Tian, L., Zhang, Y., Chen, P., Zhang, F., Li, J., Yan, F., Dong, Y., & Feng, B. (2021). How does the waterlogging regime affect crop yield? A global meta-analysis. *Frontiers in Plant Science*, 12, 634898. <https://doi.org/10.3389/fpls.2021.634898>
 40. Wang, C., Hai, J., Yang, J., Tian, J., Chen, W., Chen, T., & Wang, H. (2016). Influence of leaf and silique photosynthesis on seeds yield and seeds oil quality of oilseed rape (*Brassica napus* L.). *European Journal of Agronomy*, 74, 112-118. <https://doi.org/10.1016/j.eja.2015.12.008>
 41. Wollmer, A. C., Pitann, B., & Muehling, K. H. (2018). Waterlogging events during stem elongation or flowering affect yield of oilseed rape (*Brassica napus* L.) but not seed quality. *Journal of Agronomy and Crop Science*, 204, 165-174. <https://doi.org/10.1111/jac.12244>
 42. Wu, X., Tang, Y., Li, C., Wu, C., & Huang, G. (2015). Chlorophyll fluorescence and yield responses of winter wheat to waterlogging at different growth stages. *Plant Production Science*, 18, 284-294. <https://doi.org/10.1626/pps.18.284>
 43. Yan, K., Zhao, S., Cui, M., Han, G., & Wen, P. (2018). Vulnerability of photosynthesis and photosystem I in Jerusalem artichoke (*Helianthus tuberosus* L.) exposed to waterlogging. *Plant Physiology and Biochemistry*, 125, 239–246. <https://doi.org/10.1016/j.plaphy.2018.02.017>
 44. Yin, D., Sun, D., Han, Z., Ni, D., Norris, A., & Jiang, C. Z. (2019). PhERF2, an ethylene-responsive element binding factor, plays an essential role in waterlogging tolerance of Petunia. *Horticulture Research*, 6, 1-11. <https://doi.org/10.1038/s41438-019-0165-z>
 45. Zandi, R., Rahnema, A., & Meskarbashi, M. (2023). Effect of deficit irrigation regimes on photosynthetic, morpho-physiological and yield traits of safflower (*Carthamus tinctorious* L.) in Ahvaz climate condition. *Crop Physiology Journal*, 15(59), 19-40. <http://cpj.ahvaz.iau.ir/article-1-1614-en.html>
 46. Zhang, G., Tanakamaru, K., Abe, J., & Morita, S. (2007). Influence of waterlogging on some anti-oxidative enzymatic activities of two barley genotypes differing in anoxia tolerance. *Acta Physiologiae Plantarum*, 29, 171-176. <https://doi.org/10.1007/s11738-006-0022-1>
 47. Zhang, P., Lyu, D., Jia, L., He, J., & Qin, S. (2017). Physiological and de novo transcriptome analysis of the fermentation mechanism of *Cerasus sachalinensis* roots in response to short-term waterlogging. *BMC Genomics*, 18, 649. <https://doi.org/10.1186/s12864-017-4055-1>
 48. Zhang, R., Zhou, Y., Yue, Z., Chen, X., Cao, X., Xu, X. X., Xing, Y. F., Jiang, B., Al, X. Y., & Huang, R. D. (2019). Changes in photosynthesis, chloroplast ultrastructure, and antioxidant metabolism in leaves of sorghum under waterlogging stress. *Photosynthetica*, 57, 1076–1083. <https://doi.org/10.32615/ps.2019.124>